

Описание пространственно-временной структуры частотно-модулированного импульса методами волновой теории катастроф

А.С. Крюковский, Ю.И. Скворцова

Негосударственное образовательное учреждение высшего профессионального образования «Российский новый университет», Москва, ул. Радио, 22, Kryukovsky@rambler.ru

Рассмотрены условия образования краевых катастроф в пространстве-времени при условии распространения электромагнитной волны в плазменном слое с сильной частотной дисперсией. Приведена классификация краевых катастроф для этого случая, необходимые и достаточные условия их образования. Особое внимание уделено краевой катастрофе F_4 , а также особенностям B_{N+1} и C_{N+1} .

The conditions of formation of edge catastrophes in space – time under condition of electromagnetic wave propagation in a plasma layer with strong frequency dispersion are considered. The classification of edge catastrophes for this case and necessary and a sufficient condition of their formation is given. The special attention is given to edge catastrophe F_4 , and also singularities B_{N+1} and C_{N+1} .

Доклад посвящен применению теории краевых катастроф для описания распространения электромагнитного излучения в нестационарном случае. Рассмотрим условия образования простых краевых особенностей: B_{N+1} , C_{N+1} , F_4 при распространении частотно-модулированного радиоимпульса в однородной диспергирующей среде (холодной плазме с плазменной частотой ω_p). Будем считать, что источник излучения помещен в начало координат. Тогда решение задачи может быть представлено в виде интеграла (см., например, [1 – 3])

$$U(\vec{r}, t) = \frac{1}{2\pi} \int_{-\infty}^{+\infty} \int_{-\infty}^{+\infty} K(\omega) U_o(\eta) \exp \left[i\omega \left(t - \eta - \frac{R}{c} (\varepsilon(\omega))^{1/2} \right) \right] d\omega d\eta, \quad (1)$$

где $\vec{r} = (X, Y, Z)$; $R = |\vec{r}|$;

c – скорость света;

$\varepsilon(\omega) = 1 - (\omega_p / \omega)^2$ – эффективная диэлектрическая проницаемость;

$$U(\vec{r}, t) \Big|_{R=R_o, t=\eta} = U_o(\eta) = \frac{1}{R_o} B(\eta) \exp \{ i\omega (\eta + f(\eta)) \}; \quad R_o \rightarrow 0, \quad \omega_o \gg \omega_p; \quad (2)$$

а

$$K(\omega) = |K(\omega)| \exp \{ i\psi(\omega) \} \quad (3)$$

частотная характеристика фильтра приемного устройства. Для простоты рассмотрим полубесконечный радиосигнал. Тогда

$$B(\eta) = \chi(\eta) A(\eta), \quad \chi(\eta) = 1, \quad \eta \geq 0; \quad \chi(\eta) = 0, \quad \eta < 0; \quad (4)$$

где $A(\eta)$ – огибающая радиосигнала;

ω_o – несущая частота;

$f(\eta)$ – гладкая функция, характеризующая частотную модуляцию радиосигнала.

Критическими точками интеграла (1) являются седловые точки фазовой функции, а также, в силу (4), её сужения. Фазовая функция, определяющая совместно со своими сужениями лучевые семейства, описывающие распространение радиосигнала в пространстве-времени (ПВ), имеет вид:

$$\Phi(\eta, \omega, \vec{r}, t) = \psi(\omega) + \omega \left(t - \eta - \frac{R}{c} (\varepsilon(\omega))^{1/2} \right) + \omega_o (\eta + f(\eta)). \quad (5)$$

ПВ геометрооптических (ГО) семейство лучей определяется системой уравнений:

$$\partial \Phi / \partial \eta = \Phi_1 = -\omega + \omega_o + \omega_o f_1(\eta) = 0, \quad (6)$$

$$\partial \Phi / \partial \omega = \Phi_2 = t - \eta - \frac{R}{c} (\varepsilon(\omega))^{-1/2} + \psi_1(\omega) = 0, \quad (7)$$

где $\psi_j = \partial \psi / \partial \omega_j$,

$$f_j = \partial f / \partial \eta_j.$$

Функция $f(\eta)$ с физической точки зрения характеризует компрессию и декомпрессию радиосигнала, а с точки зрения теории катастроф она ответственна за ПВ каустическую фокусировку ГО лучей. Выпишем вторые производные фазовой функции Φ :

$$\partial^2 \Phi / \partial \eta^2 = \Phi_{11} = \omega_o f_2(\eta) = 0, \quad (8)$$

$$\partial^2 \Phi / \partial \eta \partial \omega = \Phi_{12} = -1 \neq 0, \quad (9)$$

$$\partial^2 \Phi / \partial \omega^2 = \Phi_{22} = \frac{R}{c} \frac{\omega_p^2}{\omega^3} (\varepsilon(\omega))^{-3/2} + \psi_2(\omega) = 0. \quad (10)$$

$$\Phi_{1^k 2^n} = 0, \quad n > 1, \quad k \geq 1; \quad \Phi_{1^n} = \omega_o f_n(\eta), \quad n \geq 2. \quad (11)$$

Из (9) следует, что максимальный коранг матрицы Гесса вторых производных функции Φ равен 1, и поэтому в данной задаче возможны только одномерные каспоидные ($\Sigma = A_N$) фокусировки ПВ ГО лучей [2]. Если f зависит от η линейно, а $\psi = 0$, фокусировки ПВ ГО лучей не возникает. Если

$$f(\eta) = \frac{1}{2} a \eta^2, \quad \psi = 0,$$

то положение каустики R_c, t_c как функции параметра η определяются равенствами:

$$R_c = \frac{c}{a} (\varepsilon_c)^{3/2} \frac{\omega_c^3}{\omega_o \omega_p^2}; \quad t_c = \eta + \frac{R_c}{c} (\varepsilon_c)^{-1/2}; \quad \varepsilon_c = \varepsilon(\omega_c); \quad \omega_c = \omega_o (1 + a \eta).$$

Гладкая каустика ПВ ГО лучей в различных работах (см., например, в [4–8]). На рис.1 показаны ПВ ГО лучи и каустика с краем (толстая линия). Особенность соответствует катастрофе V_3 . ПВ краевые лучи на рис. 1 не показаны.

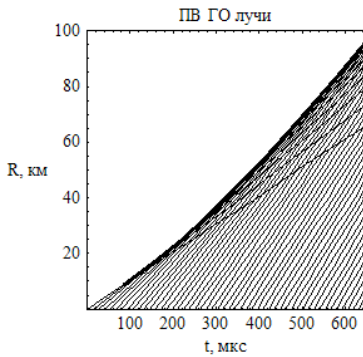


Рис. 1.

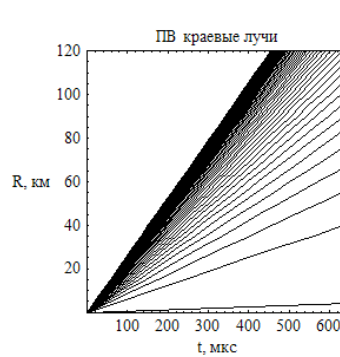


Рис.2.

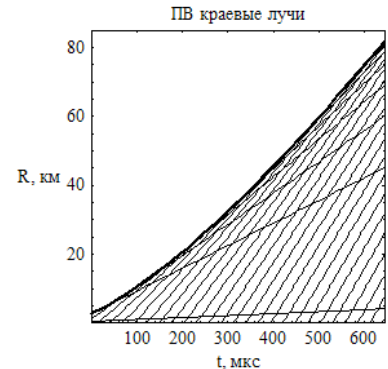


Рис.3.

$\omega_o = 2\pi f_o, f_o = 13,5$ МГц, $\omega_p = 2\pi f_p, f_p \approx 12,7$ МГц,
 $a = 1500 \text{ c}^{-1}$ – рис.1; $a = 0$ – рис.2; $a = -1,4 \cdot 10^{-11} \text{ c}^2$ – рис.3.

Рассматривая ПВ фокусировку ГО лучей, мы игнорировали вклад ПВ краевых лучей (см., например, [5, 7, 9]), порождаемых начальной точкой полубесконечного радиоимпульса. Это возможно либо, когда $B(\eta)$ плавная гладкая функция и краевые лучи отсутствуют, либо, с некоторой степенью точности, вдали от границы "свет-тень" ПВ ГО лучей, поскольку вклад краевых лучей обычно существенно меньше вклада ГО лучей. Семейство краевых лучей определяется из сужения функции Φ на границу $\eta = 0$ (то есть на начало радиоимпульса):

$$\partial\Phi\Big|_{\eta=0} / \partial\omega = t - \frac{R}{c\sqrt{\varepsilon}} + \psi_1 = 0.$$

Очевидно, что при $\psi_2(\omega) = 0$ краевые лучи не фокусируются ($\Sigma_E = A_1$). Равномерный учет вклада краевых лучей был рассмотрен, например, в [10, 11]. В терминах волновой теории катастроф возникающие особенности в окрестности границы "свет-тень" принадлежат серии $B_{N+1} = (A_N, A_1)$, и поэтому равномерная асимптотика выражается по формуле:

$$U(\vec{r}, t) = e^{i\theta} \left\{ (l_1)_g I^{B_{N+1}}(\vec{\lambda}) + \sum_{k=2}^N (l_k)_g \left(\frac{\partial I^{B_{N+1}}}{\partial \lambda_{k-1}} \right) + (l_1)_E \right\}.$$

Здесь и ниже θ – фаза бегущей волны, $(l_j)_g$ и $(l_j)_E$ ГО и краевые коэффициенты асимптотического разложения, λ_j – коэффициенты универсальной деформации, а

$$I^{B_{N+1}}(\lambda_1, \dots, \lambda_N) = \int_0^{+\infty} \exp \left\{ i \left(z^{N+1} + \lambda_N z^N + \dots + \lambda_1 z \right) \right\} dz$$

специальная функция (СВК) краевой волновой катастрофы B_{N+1} .

Если теперь наоборот частотная модуляция отсутствует ($f(\eta) = 0$), а $\psi(\omega)$ – фазовая характеристика фильтра не равна нулю, то может возникнуть фокусировка краевых лучей каспидной серии, а поскольку ПВ ГО лучи не фокусируются, краевая особенность будет типа $C_{N+1} = (A_1, A_N)$. В частности, если $\psi(\omega) = \frac{1}{2} a (\omega - \omega_o)^2$, уравнение каустики в параметрической форме (параметр ω) имеет вид [2]:

$$R = -c a \frac{\omega^3}{\omega_p^2} (\varepsilon)^{3/2}, \quad \omega_p < \omega < +\infty, \quad \omega_p < \omega_o; \quad t = -a \left(\omega - \omega_o + \varepsilon \frac{\omega^3}{\omega_p^2} \right), \quad a < 0.$$

ПВ краевые лучи в отсутствии влияния фильтра приемного устройства показаны на рис.2. Видно, что все лучи выходят из точки, соответствующей началу радиоимпульса и не образуют каустики. На рис. 3 показаны лучи и их огибающая (каустика) в случае, когда фазовая характеристика фильтра не равна нулю. ПВ ГО на этих рисунках не показаны. Такой тип фокусировки является результатом взаимодействия сигнала с фильтром.

В работе [10] (см. также [2, 12]) была построена равномерная асимптотика для этого случая:

$$U(\vec{r}, t) = e^{i\theta} \left\{ (l_1)_g I^{C_{N+1}}(\lambda_1 \dots \lambda_N) + (l_1)_E I^{A_N}(\lambda_1, \dots, \lambda_{N-1}) + \sum_{k=1}^{N-1} (l_k)_E \frac{\partial I^{A_N}}{\partial \lambda_k} \right\},$$

где:

$$I^{C_{N+1}}(\lambda_1, \dots, \lambda_N) = \int_0^{+\infty} dz \int_{-\infty}^{+\infty} \exp \left\{ i \left(zx + x^{N+1} + \lambda_N z + \lambda_{N-1} x^{N-1} + \dots + \lambda_1 x \right) \right\} dx$$

СВК краевой волновой катастрофы C_{N+1} , а

$$I^{A_{N+1}}(\lambda_1, \dots, \lambda_{N-1}) = \int_{-\infty}^{+\infty} \exp \left\{ i \left(x^{N+1} + \lambda_{N-1} x^{N-1} + \dots + \lambda_1 x \right) \right\} dx$$

специальная функция сужения, то есть СВК основной волновой катастрофы A_{N+1} .

Пусть теперь одновременно и $f(\eta) \neq 0$ и $\psi(\omega) \neq 0$. Тогда могут возникнуть каустики и их особенности как ПВ ГО лучей, так и краевых лучей. Положение каустики ПВ ГО лучей в пространстве $R^3 \times T$ определяется системой из трех уравнений с двумя параметрами η и ω : (6) (7) и

$$\omega_o f_2(\eta) \left(\psi_2(\omega) + \frac{R}{c} \frac{\omega_p^2}{\omega^3} (\varepsilon(\omega))^{-3/2} \right) = 1, \quad (12)$$

а каустика ПВ краевых лучей системой из двух уравнений с одним параметром ω :

$$\psi_2(\omega) + \frac{R}{c} \frac{\omega_p^2}{\omega^3} (\varepsilon(\omega))^{-3/2} = 0; \quad t = \eta + \frac{R}{c} (\varepsilon(\omega))^{-1/2} - \psi_1(\omega). \quad (13)$$

Из формул (6–7), (12–13) нетрудно установить, что каустики краевых лучей никогда не пересекаются с каустикой ГО лучей. Поэтому особые центральные сечения краевых катастроф (помимо B_{N+1} и C_{N+1}) в данной задаче не образуются. Однако образуются сечения каустических структур катастроф типа $\Sigma = (A_{N_g}, A_{N_E})$ с такими N_g и N_E , которые допустимы в соответствии с классификацией краевых катастроф (см. таблицы 1 и 2, а также [12, 13]). В таблицах 1-2 введены обозначения: $N = N_g + N_E$, — кратность особенности, L — коразмерность особенности, M — модальность катастрофы, a — функциональный модуль.

Таблица 1

№	Σ	Σ_g	Σ_E	Особый росток φ_o^Σ	N	L	M	\bar{a}
1	B_2	A_1	A_1	$\pm z^2$	2	2	0	1
2	C_2			$xz \pm x^2$				2
3	B_{N+1}	A_N	A_1	$\pm z^{N+1}$	$N+1$	N	0	1
4	C_{N+1}	A_1	A_N	$xz \pm x^{N+1}$	$N+1$	N	0	2
5	F_4	A_2	A_2	$\pm z^2 \pm x^3$	4	3	0	2
6	$K_{4,2}$	A_3	A_3	$z^2 + ax^2z \pm x^4$	6	4	1	2
7	$K_{1,2N-3}^\#$	A_{2N}	A_3	$(z + x^2)^2 + axz^N; N \geq 2$	$2N+3$	$2N+1$	1	2
8	$K_{1,2N-4}^\#$	A_{2N-1}	A_3	$(z + x^2)^2 + az^N; N \geq 3$	$2N+2$	$2N$	1	2
9	$K_{N,2}$	A_3	A_{N-1}	$az^2 + zx^2 \pm x^N; N \geq 5$	$N+2$	N	1	2
10	K_8^{**}	A_4	A_4	$x^5 + z + axz^3$	8	6	1	2

Таблица 2

№	Σ	Возмущения: $\varphi_1^\Sigma, \dots, \varphi_L^\Sigma$	Ограничения на функциональный модуль a
1	B_2	z	—
2	C_2	$x(z)$	—
3	B_{N+1}	z, \dots, z^N	—
4	C_{N+1}	$x, \dots, x^N (x, \dots, x^{N-1}, z)$	—
5	F_4	x, z, xz	—
6	$K_{4,2}$	x, x^2, z, xz	$a^2 \neq \pm 4$
7	$K_{1,2N-3}^\#$	$z, \dots, z^N, xz^0, \dots, xz^{N-1}, x^2$	$a \neq 0$
8	$K_{1,2N-4}^\#$	$z, \dots, z^{N-1}, xz^0, \dots, xz^{N-1}, x^2$	$a \neq 0$
9	$K_{N,2}$	xz, x, \dots, x^{N-2}, z	$a \neq 0$
10	K_8^{**}	x, x^2, x^3, z, zx, zx^2	—

В более сложных случаях положения центров краевых катастроф можно определить, пользуясь необходимыми и достаточными условиями, сформулированными в таблице 3 [12–16].

Таблица 3

Σ	Σ_g, Σ_E	$\bar{\alpha}$	<u>Необходимые и достаточные условия</u> Общее условие: $\Phi_1 = \Phi_2 = \Phi_3 = 0$
B_{N+1}	A_N, A_1	1	$\Phi_{1^k} = 0, k = 1, \dots, N; \Phi_{1^{N+1}} \neq 0$
C_{N+1}	A_1, A_N	2	$\Phi_{2^k} = 0, k = 1, \dots, N; \Phi_{2^{N+1}} \neq 0, \Phi_{12} \neq 0$
F_4	A_2, A_2	2	$\Phi_{12} = \Phi_{22} = 0; \Phi_{11} \neq 0; \Phi_{222} \neq 0$
$K_{4,2}$	A_3, A_3	2	$\Phi_{2222} \neq 0; \Phi_{11} \neq 0$ $\Phi_{222} = \Phi_{22} = \Phi_{12} = 0;$ $\Phi_{11} \Phi_{2222} \neq 3 \Phi_{122}^2$
$K_{N,2}$	A_3, A_{N-1}	2	$\Phi_{2^k} = 0, k = 1, \dots, N-1; \Phi_{2^N} \neq 0$ $\Phi_{11} \neq 0; \Phi_{12} = 0; \Phi_{122} \neq 0; N \geq 5$
$K_{1,1}^\#$	A_4, A_3	2	$\Phi_{22} = \Phi_{12} = \Phi_{222} = 0; \Phi_{2222} \neq 0; \Phi_{11} \neq 0$ $\Phi_{11} \Phi_{2222} = 3 \Phi_{122}^2;$ $\Phi_{11}^2 \Phi_{22222} \neq 10 \Phi_{11} \Phi_{122} \Phi_{1222} - 15 \Phi_{112} (\Phi_{122})^2$
$K_{1,2}^\#$	A_5, A_3	2	$\Phi_{22} = \Phi_{12} = \Phi_{222} = 0; \Phi_{2222} \neq 0; \Phi_{11} \neq 0$ $\Phi_{11} \Phi_{2222} = 3 \Phi_{122}^2;$ $\Phi_{11}^2 \Phi_{22222} = 10 \Phi_{11} \Phi_{122} \Phi_{1222} - 15 \Phi_{112} (\Phi_{122})^2;$ $\Phi_{11}^3 \Phi_{222222} \neq 15 \Phi_{11}^2 \Phi_{12222} \Phi_{122} + 15 \Phi_{111} \Phi_{122}^3 -$ $- 45 \Phi_{11} \Phi_{1122} \Phi_{122}^2 + 10 [\Phi_{11} \Phi_{1222} - 3 \Phi_{112} \Phi_{122}]^2$
K_8	A_4, A_4	2	$\Phi_{22} = \Phi_{12} = \Phi_{222} = \Phi_{122} = \Phi_{2222} = 0; \Phi_{22222} \Phi_{11} \neq 0$

В общем случае равномерная асимптотика в этих случаях выражается по формуле (подробнее см. [12, 13]):

$$U(\vec{r}, t) = e^{i\theta} \left\{ (l_1)_g I^\Sigma(\vec{S}) + \sum_{k=2}^{N_g} (l_k)_g \frac{\partial I^\Sigma}{\partial S_{k-1}^g} + (l_1)_E I^{\Sigma_E}(\vec{S}^E) + \sum_{k=2}^{N_E} (l_k)_E \frac{\partial I^{\Sigma_E}}{\partial S_{k-1}^E} \right\}.$$

где: $I^\Sigma(\vec{S})$ – СВК краевой волновой катастрофы $\Sigma = (\Sigma_g, \Sigma_E)$,

$\vec{S} = (\vec{S}^g, \vec{S}^E)$ – аргументы СВК, включающие коэффициенты и функциональные модули,

$I^{\Sigma_E}(\vec{S}^E)$ – специальная функция сужения, то есть СВК основной волновой катастрофы типа Σ_E ,

N_g – кратность (число лучей) ГО катастрофы Σ_g ,

N_E – кратность (число лучей) краевой катастрофы Σ_E .

В частности, если

$$\psi(\omega) = \frac{1}{2} \alpha (\omega - \omega_o)^2, \quad f(\eta) = \frac{1}{2} b \eta^2 \quad (14)$$

возникает сечение краевой катастрофы $F_4 = (A_2, A_2)$. На рис.4 и 5 показаны ПВ ГО лучи (сплошные тонкие линии), каустика ПВ ГО лучей (толстая линия с точки обрыва), ПВ краевые лучи (пунктир) и каустика краевых лучей (толстая непрерывная линия). Предельный ГО луч касается как каустики краевых лучей, так и каустики ГО лучей, но в разных точках:

$$R_{cg} = \frac{1}{\beta} \left(\frac{1}{b \omega_o} - \alpha \right); \quad R_{cE} = -\frac{\alpha}{\beta}; \quad \alpha < 0, \quad R_{cg} > R_{cE}; \quad \beta = \frac{\omega_p^2}{\omega_o^3} (\varepsilon(\omega_o))^{-3/2}.$$

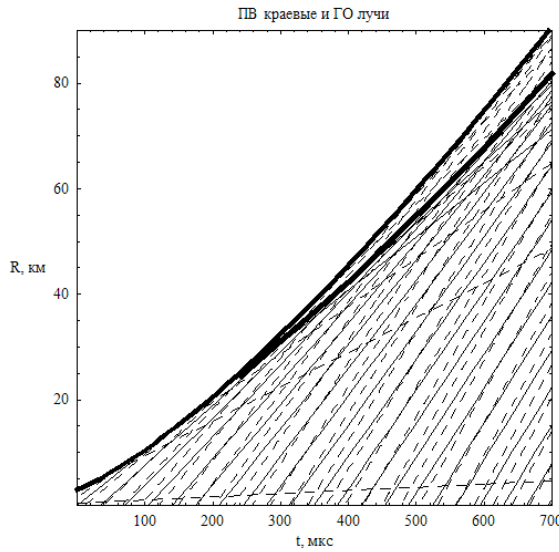


Рис. 4.

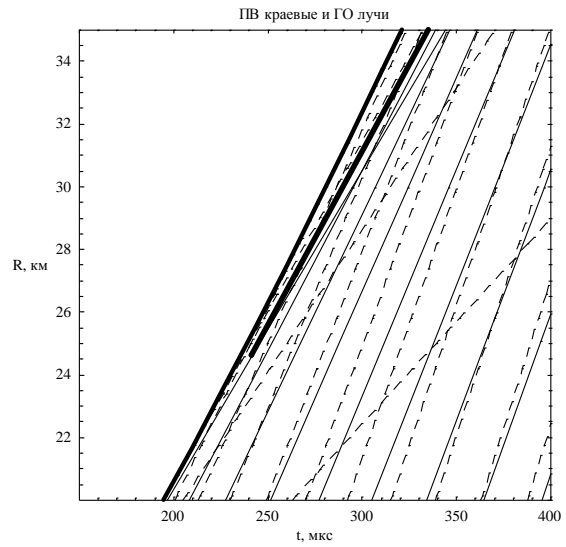


Рис. 5.

$$b=1500 c^{-1}, \alpha=-1,4 \cdot 10^{-11} c^2, \omega_0=2\pi f_0, f_0=13,5 \text{ МГц}, \omega_p=2\pi f_p, f_p \approx 12,7 \text{ МГц}$$

Рис. 5. является фрагментом рис. 4. Видно, что в этом сечении каустики не пересекаются. Равномерная асимптотика радиосигнала имеет вид

$$U(\vec{r}, t) = e^{i\theta} \left\{ (l_1)_g I^{F_4}(\lambda_1, \lambda_2, \lambda_3) + (l_2)_g \frac{\partial I^{F_4}}{\partial \lambda_2} + (l_1)_E A_i^+(\lambda_1) + (l_2)_E (A_i^+(\lambda_1))^{\nabla} \right\}, \quad (15)$$

где:

$$I^{F_4}(\lambda_1, \lambda_2, \lambda_3) = \int_0^{+\infty} dz \int_{-\infty}^{+\infty} \exp \{ i (\pm z^2 + x^3 + \lambda_1 x + \lambda_2 z + \lambda_3 zx) \} dx \quad (16)$$

СВК краевой волновой катастрофы F_4 ,

$$A_i^\pm(\lambda_2) = I^{A_2} = \int_{-\infty}^{+\infty} \exp \{ i (\pm x^3 + \lambda_2 x) \} dx \quad (17)$$

функция Эйри (СВК основной волновой катастрофы A_2), а

$$(A_i^\pm(\lambda_2))^\nabla = i \int_{-\infty}^{+\infty} x \exp \{ i (\pm x^3 + \lambda_2 x) \} dx \quad (18)$$

её производная. Аналогично могут быть исследованы и более сложные краевые особенности. Следует отметить, что речь идет о высокочастотной асимптотике, и поэтому все построения не имеют смысла за пределами окрестности, хотя возможно и достаточно широкой, предельного ПВ ГО луча.

Таким образом, в настоящей работе рассмотрены основные идеи, лежащие в основе применения теории краевых волновых катастроф [17, 18] к описанию распространения частотно-модулированных радиосигналов в плазме. Приведены лучевые и каустические структуры и равномерные асимптотики для простых пространственно-временных краевых особенностей, соответствующих катастрофам V_{N+1} , C_{N+1} , F_4 , а также в общем случае.

Работа выполнена при поддержке РФФИ (гранты № 12-02-00413-а, № 13-07-00937).

Литература

1. Анютин А.П., Боровиков В.А. Равномерные асимптотики интегралов от быстроосциллирующих функций с особенностями внеэкспоненциального множителя: Препринт / ИРЭ АН СССР. М., 1984, № 42 (414). 54 с.
2. Крюковский А.С., Лукин Д.С., Палкин Е.А., Растягаев Д.В. Теория катастроф в проблемах стационарной и нестационарной дифракции // Труды X школы – семинара по дифракции и распространению волн. 7 -15.02.1993./М.: МФТИ. 1993. С. 36–111.
3. Крюковский А.С., Лукин Д.С. Краевые и угловые катастрофы в равномерной геометрической теории дифракции. Учебное пособие. М.: МФТИ, 1999. 134 с.
4. Гинзбург В.Л. Распространение электромагнитных волн в плазме. 2-е изд. М.: Наука, 1967. 684 с.
5. Кравцов Ю.А., Островский Л.А., Степанов Н.С. Геометрическая оптика неоднородных и нестационарных движущихся сред.//ТИИЭР. 1974. Т.62. № 11. С.91 – 112.
6. Кравцов Ю.А., Орлов Ю.И. Геометрическая оптика неоднородных сред. М.: Наука. 1980. 304 с.
7. Felsen L.B. Transients in dispersive media, part 1: theory // IEEE Trans. on Ant. and Prop. 1969. AP-17.№ 2. P.191 – 200.
8. Lewis R.M. Asymptotic theory of transients //In: Electromagnetic Wave Theory. Part 2. Ed. by J. Brown / N.Y.: Pergamon Press. 1967. P.845–869.
9. Анютин А. П. Асимптотическая теория распространения радиосигналов в неоднородной плазме.//Распространение радиоволн в ионосфере. М.: ИЗМИР АН СССР. 1978. С.29–36.
10. Анютин А.П. Равномерная модификация метода ВГТД в случае произвольной диспергирующей среды и каустик ВГО и ВГТД лучей. // Дифракция и распространение волн. Междув. сборник / М.: МФТИ, 1985. С. 32 – 36.
11. Чистяков Д.Н., Крюковский А.С., Лукин Д.С., Растягаев Д.В. Трехмерные

пространственно-временные фокусировки радиоимпульсов в нестационарных диспергирующих средах. //Труды XII Всероссийской школы-конференции по дифракции и распространению волн. М., 19-23.12.2001, РосНОУ. Тез. докл. /М.: МФТИ (ГУ). 2001. Т. 2. С.456-459.

12. Крюковский А.С. Равномерная асимптотическая теория краевых и угловых волновых катастроф М.: РосНОУ, 2013. 368 с.

13. Крюковский А. С., Лукин Д. С., Палкин Е. А. Краевые и угловые катастрофы в задачах дифракции и распространения волн. Казань: Каз. авиационный ин-т, 1988. 199 с.

14. Крюковский А.С. Необходимые и достаточные условия образования основных волновых катастроф с корангом, равным двум.// Распространение и дифракция электромагнитных волн. Междувед.сб./М.: МФТИ. 1993. С. 4 - 19.

15. Крюковский А.С. Необходимые и достаточные условия образования краевых катастроф. //Проблемы дифракции и распространения волн. Межвед. сб./ М.: МФТИ, 1994, с. 47 - 54.

16. Крюковский А.С., Растягаев Д.В. О необходимых и достаточных условиях образования каспидных катастроф. // Распространение и дифракция волн в неоднородных средах. Сб./ М.:МФТИ 1989. С.56-60.

17. Ипатов Е. Б., Крюковский А. С., Лукин Д. С., Палкин Е. А. Краевые катастрофы и асимптотики // ДАН СССР. 1986. Т. 291. № 4. С. 823 - 827.

18. Крюковский А.С., Лукин Д.С., Палкин Е.А. Равномерные асимптотики и угловые катастрофы.//Доклады РАН. 1995. Т.341. № 4. С. 456-459.